**Э. М. Уразаева**, к. х. н. **М. Х. Руми** (⊠), к. т. н. **Ш. Р. Нурматов**, **Ш. К. Ирматова**, к. т. н. **Ш. А. Файзиев**, **Э. П. Мансурова**, **М. А. Зуфаров** 

Институт материаловедения НПО «Физика–Солнце» АН Республики Узбекистан, Ташкент, Республика Узбекистан

УПК 666.762.1-127.017:536.21

# ВЛИЯНИЕ ТЕХНОЛОГИЧЕСКИХ ФАКТОРОВ НА ТЕПЛОПРОВОДНОСТЬ ЛЕГКОВЕСНЫХ ОГНЕУПОРОВ

Представлены сведения о теплопроводности высокопористых образцов огнеупоров, полученных с использованием каолинов, глин, выгорающих, спекающих добавок, а также пены. Проанализированы данные по свойствам образцов легковесных огнеупоров, полученных разными методами. Акцент сделан на сочетании теплоизоляционных и прочностных свойств образцов. Достигнута теплопроводность пенолегковесных образцов 0,37 Вт/(м·К) при 650 °С в сочетании с удовлетворительным пределом прочности при сжатии 3,8 МПа.

**Ключевые слова:** теплопроводность, легковесные огнеупоры, каолиновые глины, сухарные глины, выгорающая добавка, пенополистирол (ППС), пенометод, поризация.

### **ВВЕДЕНИЕ**

амотные легковесные огнеупоры широко используются для футеровки промышленных печей благодаря низкой теплопроводности и химической стойкости, так как позволяют снизить потери тепла в окружающую среду, а также улучшить работу тепловых агрегатов, сократив продолжительность их разогрева и охлаждения [1]. При разработке огнеупоров учитываются доступность глин разной огнеупорности, технологичность получения огнеупоров, а также условия их эксплуатации [2].

Для производства теплоизоляционных высокопористых огнеупоров из конкретного вида сырья необходимы исследования, касающиеся оптимизации составов шихт, корректировки технологических режимов, а также оценки теплопроводности получаемых материалов для проведения ряда теплотехнических расчетов (например, для футеровки печей). На теплопроводность материала влияет множество факторов: физическое состояние, наличие кристаллических и аморфных фаз, химический состав, примеси, пористость, температура эксплуатации [1]. Изменения этих факторов могут в разной степени влиять на уровень теплопроводности материала. Известно, что теплопроводность

 $\bowtie$ 

M. X. Руми E-mail: marinarumi@yandex.ru чистых оксидов намного выше, чем у материалов сложного состава со стеклофазой и сложной кристаллической решеткой. Так, теплопроводность  $Al_2O_3$  составляет 30  $Bt/(m\cdot K)$  при 100 °C, а фарфора и плотного шамотного огнеупора 1,7 и 0,85  $Bt/(m\cdot K)$  соответственно. Зависимость теплопроводности материала от температуры очень важна, так как рабочие температуры теплоизоляционных футеровочных материалов довольно высоки. Так, теплопроводность корунда сильно снижается до 6,2  $Bt/(m\cdot K)$  при 1000 °C, а фарфора и плотного шамотного огнеупора незначительно увеличивается до 1,9 и 0,9  $Bt/(m\cdot K)$  соответственно [1, 3].

Еще одним фактором, влияющим на теплопроводность материалов, является их пористость. Анализ литературных данных показывает, что пористость материала снижает его теплопроводность почти в линейной зависимости. Это связано с теплопроводностью воздуха 0,023 Вт/(м·К), величина которой является наименьшей по сравнению с теплопроводностью природных материалов. Влияние пористости и связанной с ней средней плотности настолько однозначно, что некоторые исследователи рассчитывают теплопроводность при комнатной температуре по эмпирическим формулам в зависимости от пористости. Так, в публикации [4] представленприближенный расчеттеплопроводности материала λ, Вт/(м·К), по формуле

 $\lambda = 1.16\sqrt{0.0196 + 0.22\rho_0^2} \cdot 0.16$ 

где  $\rho_0$  — средняя плотность материала, г/см<sup>3</sup>.

Однако достоверную оценку теплопроводности расчетным путем провести сложно из-за множества факторов, влияющих на ее величину. В

связи с этим предпочтение получили экспериментальные методы, особенно при исследовании пористых и высокопористых огнеупорных материалов.

Влияние пористости на теплопроводность легковесных огнеупоров описано авторами статьи [5]. Ими пенометодом получены материалы на основе огнеупорных глин, характеризующиеся высокой пористостью (до 68 %) и теплопроводностью 0.2-0.35 Bt/(м·К). При этом оценочная теплопроводность плотных изделий на основе огнеупорных глин в разы больше и составляет 0.7-0.82 Вт/(м·К). Получены также магнезиальные теплоизоляционные материалы с равномерным распределением пор по размерам при использовании вспенивающих добавок [6]. Материалы обладают высокой пористостью (62-71 %) и низкой теплопроводностью — в интервале 0.174-0.310 Bt/(м·К), в то время как теплопроводность плотных изделий составляет 4,66-5,82 Bт/(м·К). Имеются сведения [7] о получении низкоплотных углеродных материалов плотностью от 650 до 810 кг/м<sup>3</sup>; при этом их теплопроводность находится в пределах 2,5-3,2 Вт/(м⋅К), хотя уровень теплопроводности плотного углерода более 100 Вт/(м·К).

Кроме того, теплопроводность материала зависит в той или иной степени от температуры, а поскольку футеровка тепловых агрегатов работает при повышенных температурах, необходимо знать точную зависимость теплопроводности материала от температуры. Исследования теплопроводности при повышенных температурах шамотных легковесных огнеупоров (огнеупорностью 1670 °C), полученных по технологии поризации, приведены в публикации [8]. Так, метод поризации с введением выгорающей добавки пенополистирола (ППС) позволяет получить материалы теплопроводностью при 600 °C 0,23 Вт/(м·К), а пенометод — теплопроводностью 0,34 Вт/(м·К).

Таким образом, изменяя физикотехнические характеристики огнеупоров, можно управлять их теплопроводностью. В настоящей статье представлены результаты исследований влияния методов формования и природы порообразующих добавок на теплопроводность огнеупорных легковесных материалов на основе каолиновых глин.

## МЕТОДИКА ЭКСПЕРИМЕНТА И МАТЕРИАЛЫ

Современные экспериментальные методы определения теплопроводности делятся на две группы: проводимые в стационарном режиме и в нестационарном. Нестационарный режим обеспечивает приближенную оценку при оперативном контроле. Стационарный метод наиболее точен, измерения можно проводить в широком диапазоне температур — от 20 до 700 °С, но этот метод трудоемок. Метод измерения теплопроводности огнеупоров для промыш-

ленного оборудования регламентирован ГОСТ 12170-86 «Огнеупоры. Стационарный метод измерения теплопроводности». Для определения теплопроводности стационарным методом была отформована серия экспериментальных образцов разных составов (табл. 1), соответствующих по форме и размерам марке № 5 по ГОСТ 8691-2018.

Объектом исследований явились: 1 — обогащенные (с разным содержанием оксида алюминия и щелочей) каолины; 2 — сухарные глины; 3 — кварц-каолинитовый концентрат: 4 — пластичные вторичные и углистые глины. Во всех экспериментах соотношение наполнителя и связующего в шихте составляло 60:40. Шамот на основе высокообожженных каолинов использовали двух видов (шамот и шамот-I), различающихся содержанием оксида алюминия (36 и 39 мас. %) и щелочей (1,1 и 1,9 мас. %). При выборе исходного сырья учитывали нормативную документацию на сырьевые компоненты, а также технические требования к показателям огнеупорной легковесной керамики по ГОСТ 5040-2015. «Изделия огнеупорные теплоизоляпионные».

Для снижения средней плотности разрабатываемых изделий шихту готовили с использованием пенообразователей и ряда выгорающих добавок (кокс, опилки, ППС), что позволило сопоставить особенности их влияния на теплоизоляционные свойства изделий. Для увеличения их механической прочности в качестве спекающей добавки использовали бентонит. Образцы получали полусухим прессованием и пластическим формованием (табл. 1). Спекаемость образцов разрабатываемых составов оценивали путем последовательного обжига в интервале 1250-1350 °C. Основные физико-механические характеристики образцов определяли согласно требованиям нормативной документации; акцент был сделан на сочетание теплоизоляционных и прочностных свойств образцов.

## РЕЗУЛЬТАТЫ И ИХ ОБСУЖДЕНИЕ

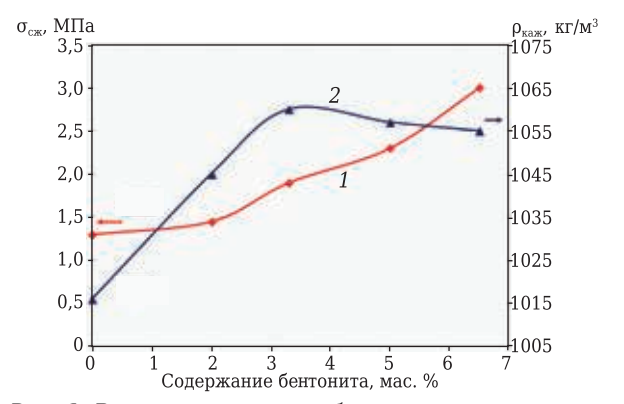
Данные по составам экспериментальных образцов, способам их формования и методам получения пористой структуры приведены в табл. 1.

Образцы с выгорающей добавкой кокса в количестве от 24 до 35 мас. %, были получены полусухим прессованием за счет варьирования давления прессования и массы засыпки в пресс-формы (см. табл. 1, серии 1–3). Из анализа полученных данных следует, что для полного выгорания кокса при обжиге образцов его оптимальное количество в массе засыпки составляет 30 мас. % независимо от вида используемого сырья. Использование наполнителя в виде сухарной глины и давления прессования 10 МПа позволяет получить образцы кажущейся плот-

Таблица 1. Исходный состав формовочных масс для получения образцов теплоизоляционных легковесных изделий

Серия		Влажность формо-									
образца	наполнитель	связующее (глина)	спекающая добавка	поризующая добавка*	вочной массы, %						
Образцы, полученные полусухим прессованием											
1	Шамот	Вторичная	-	Кокс (20-35 %)	11-14						
2	<b>»</b>	<b>»</b>	Бентонит (>6,5 %)	Кокс (30 %)							
3	Сухарная глина	Углистая	-	Кокс (30 %)							
4	Шамот	Вторичная	_	ППС (9 %)							
Образцы, полученные пластическим формованием											
5	<b>»</b>	То же	Бентонит (5 %)	Опилки (18-23 %)	35						
6	<b>»</b>	» »	-	Пена (10-25 %)	45-50						
7	Сухарная глина	Углистая	-								
8	Кварц-										
	каолинитовый										
	концентрат										
9	Шамот										
10	Шамот-І										
* В скобках указана концентрация поризующей добавки сверх 100 %.											

ностью  $\rho_{\text{каж}}$  до 1000 кг/м³ с пределом прочности при сжатии  $\sigma_{\text{сж}}$  4-6 МПа (серия 3);  $\sigma_{\text{сж}}$  образцов шамотного легковесного огнеупора (серия 1) с  $\rho_{\text{каж}}$  до 1000 кг/м³ составил 1,3 МПа (табл. 2).



**Рис. 1.** Влияние содержания бентонита на спекаемость при 1300 °C образцов серии 2 (см. табл. 1), полученных полусухим прессованием под давлением 10 МПа

Для получения шамотных легковесных изделий, удовлетворяющих условиям стандарта по механической прочности, в состав формовочных масс вводили природные добавки спекающего и упрочняющего действия — бентонитовую глину (серия 2). Из масс на основе композиционных смесей с концентрацией бентонита до 6,5 % были сформованы образцы. Исследование влияния концентрации модифицирующей добавки показало, что увеличения  $\sigma_{cm}$  образцов до 2,5–3 МПа можно достичь при введении в шихту 5–6 мас. % бентонита (рис. 1). При этом  $\rho_{kam}$  образцов меняется незначительно (1015 кг/м³), линейная усадка  $\Delta l$  находится в пределах 2,1–3,5 %.

Из всех полученных образцов были выбраны те, в которых сочетались наименьшая плотность с удовлетворительной прочностью; была измерена их теплопроводность (см. табл. 2, серии 1–3). С применением полусухого прессования

Таблица 2. Характеристика образцов теплоизоляционных легковесных изделий, полученных при введении поризующих добавок разными методами

Серия образца	Концентрация поризующей Температ		$\Delta l_{ m o 6m}$ , %	λ, Вт/(м·К), при температуре, °С		σ <sub>сж</sub> , МПа	ρ <sub>каж</sub> , кг/м <sup>3</sup>				
(см. табл. 1)	абл. 1) добавки, %	OUMHIA, C		350	650						
Образцы, полученные методом выгорающих добавок											
Выгорающая добавка — кокс											
1	30	1300	1,0-1,5	0,410	0,496	1,3	1016				
2	30	1300	2,1-2,6	0,448	0,535	1,9	1060				
	30	1300	2,1-2,6	0,436	0,518	3	1050				
3	30	1280	3,5–4,3	0,410	0,505	6	1060				
Выгорающая добавка — ППС											
4	9	1350	2,5-3,0	0,348	0,480	2,7	800				
Выгорающая добавка — опилки											
5	18	1300	8,9	0,443	0,524	4,3	1000				
Образцы, полученные пенометодом											
6	14	1350	8,5-10	0,360	0,470	1,9	910				
7	15	1280	13-14	0,317	0,370	3,8	830				
8	10	1280	15-16	0,380	0,480	4,9	900				
9	14	1300	9-10	0,330	0,440	3,6	860				
10	16	1300	14–15	0,350	0,460	3,2	920				

масс с ППС можно получить шамотные легковесные образцы с  $\rho_{\text{каж}}$  800 кг/м³ (серия 4).

Принимая во внимание, что формование без давления позволяет получить эффективные образцы легковесных изделий с более низкой плотностью, были исследованы характеристики экспериментальных образцов, полученных пластическим формованием из мелкодисперсного шамота и вторичной пластичной каолиновой глины (см. табл. 1, серия 5). Для поризации в состав шихты вводили добавки в виде опилок (побочный продукт деревообрабатывающих производств) в количестве от 18 до 23 мас. %, а для регулирования прочности — 5 мас. % бентонитовой глины. Компоненты шихты дозировали, увлажняли до относительной влажности 35 % и обжигали при 1250-1350 °C. По результатам испытаний построены зависимости усадки образцов от количества опилок и температуры обжига (рис. 2, а). Видно, что усадочные процессы до 1300 °C не превышают 9 и 12 % у образцов с содержанием опилок 18 и 23 мас. %. Та же зависимость наблюдается и у плотности образцов, которая до 1300 °C изменяется мало и не превышает  $1000 \text{ кг/м}^3$  (рис. 2, б). Процессы спекания сильно активизируются при превышении этой температуры, что отражается на увеличении  $\Delta l$  в 2 раза,  $\rho_{\text{каж}}$  до 1350 кг/м<sup>3</sup> и визуальной деформации образцов.

Измерение  $\sigma_{\rm cm}$  образцов позволило установить, что в большей степени на его показатели влияет количество вводимых опилок (см. рис. 2,  $\delta$ ). При введении 18 мас. % опилок  $\sigma_{\rm cm}$  образцов достигает 4,3 МПа при 1300 °C; повышение количества опилок до 23 мас. % ведет к потере  $\sigma_{\rm cm}$  в 2 раза. Таким образом, образец с оптимальным сочетанием свойств ( $\rho_{\rm kam}$  1000 кг/м³,  $\sigma_{\rm cm}$  4,3 МПа,  $\Delta l$  7 %), полученный пластическим формованием из шихты с 18 мас. % опилок и обожженный при 1300 °C, был отобран для исследования теплопроводности (см. табл. 2, серия 5).

Получены образцы с использованием пенотехнологии на основе огнеупорного шамота и вторичной пластичной каолиновой глины (см. табл. 1, серия 6). Количество пены изменяли от 10 до 25 мас. %. Принимая во внимание, что сырье, используемое в этом эксперименте, обладает наибольшей огнеупорностью, температура обжига всех образцов составляла 1350 °C. Установлено, что с увеличением содержания пены равномерно снижаются их  $\rho_{\text{каж}}$  от 990 до 820 кг/м $^3$  и  $\sigma_{\rm cm}$  от 2,1 до 1,8 МПа (рис. 3). В большей степени количество пены влияет на усадочные процессы. Если при содержании пены 18 мас. %  $\Delta l$  составляет 8,5 %, то при содержании пены 23 мас. % при тех же условиях обжига  $\Delta l$ увеличивается почти в 2 раза и составляет 15 %.

Далее измеряли теплопроводность образцов с  $\rho_{\text{каж}}$  900–950 кг/м³, полученных на основе шамота с введением 14–18 мас. % пены (см. табл. 2, серия 6).

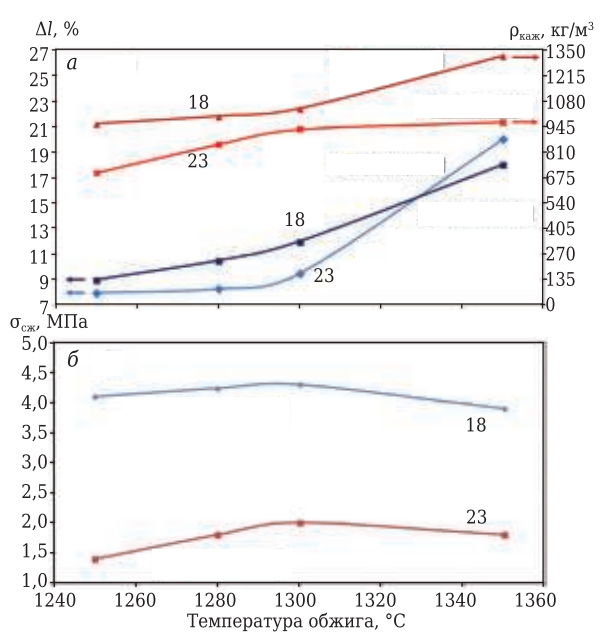
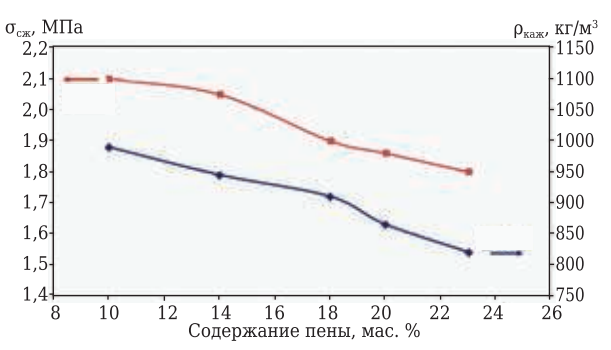
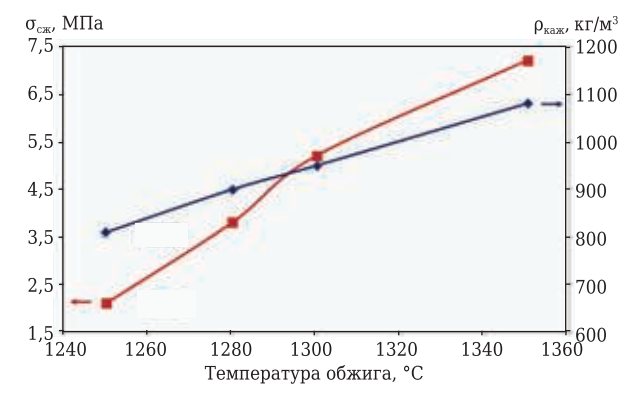


Рис. 2. Кривые спекания образцов серии 5 (см. табл. 1), полученных пластическим формованием с выгорающей добавкой в виде опилок; цифры на кривых — количество добавки, мас. %



**Рис. 3.** Влияние содержания пены на спекаемость при 1350 °C образцов серии 6 (см. табл. 1), полученных пластическим формованием

Влияние температуры обжига на свойства образцов на основе сухарной глины с 15 мас. % пены показано на рис. 4. Ниже 1280 °С образцы обладают оптимальным сочетанием свойств:  $\rho_{\text{каж}}$  800–900 кг/м³ и  $\sigma_{\text{сж}}$  3,8 МПа. Дальнейшее по-

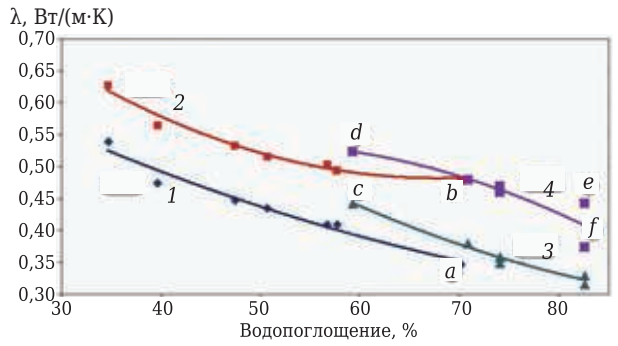


**Рис. 4.** Кривые спекания образцов серии 7 (см. табл. 1), полученных пенометодом при введении 15 мас. % пены

вышение температуры обжига приводит к увеличению плотности образцов.

Исследовали спекаемость пенолегковесных образцов с заменой сухарной глины на кварцкаолинитовый концентрат, шамот и шамот-I (см. табл. 1, серии 8–10) со связующим на основе углистой глины. На образцах оптимальных составов, сочетающих наименьшую плотность с удовлетворительной прочностью, измерена теплопроводность (см. табл. 2).

Зависимость изменения теплопроводности λ от водопоглощения образцов легковесных изделий показана на рис. 5. В целом  $\lambda$  образцов всех серий снижается при повышении водопоглощения. В то же время сопоставительный анализ данных показал, что теплопроводность образцов из различного сырья при одинаковом водопоглошении различается. Так, при водопоглощении 83 % теплопроводность пенообразцов на основе шамота (точка е) и сухарной глины (точка f) составляет 0,44 и 0,37 Bт/(м·К) соответственно. Это может быть связано с различием в фазовом и химическом составах образцов: сухарная глина, как более легкоплавкая, содержит больше аморфной фазы. Выявлено, что технология формования с выгорающей добавкой в



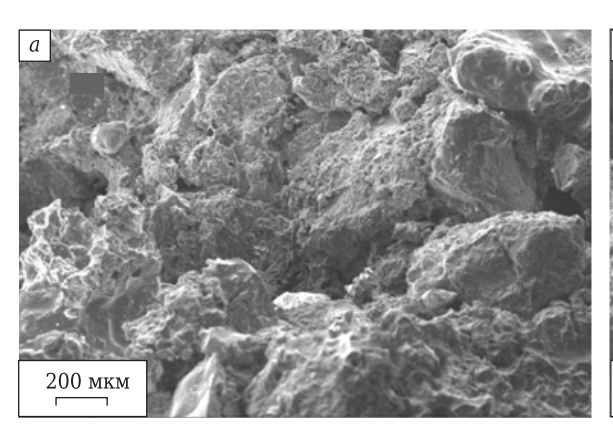
**Рис. 5.** Зависимость  $\lambda$  образцов легковесных изделий, полученных разными методами, от их водопоглощения B: 1, 2 — полусухое прессование с коксом (точки a, b — с ППС); 3, 4 — пластическое формование пенометодом (точки c, d — с опилками; точки e, f — образцы на основе шамота и сухарной глины соответственно); 1, 3 — при  $350~^{\circ}$ С; 2, 4 — при  $650~^{\circ}$ С

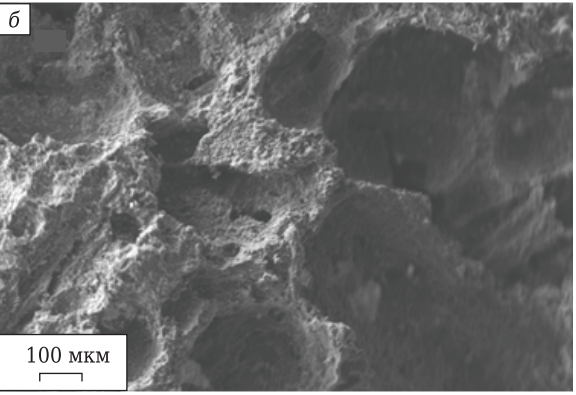
виде опилок (точки c, d) ухудшает теплопроводность образца по сравнению с выгорающей добавкой кокса: при одинаковом водопоглощении заметно увеличение теплопроводности, измеренной при 650 °C, от 0,505 до 0,524 Вт/(м·К).

Зависимость теплопроводности от температуры однозначна для алюмосиликатного сырья любой огнеупорности: теплопроводность растет с повышением температуры от 350 до 650 °C. Выявлена разница в нарастании теплопроводности при повышении температуры от 350 до 650 °C образцов, полученных формованием изделий с выгорающей добавкой ППС (точки а, b) и пенометодом. При практически одинаковом водопоглощении (70 и 70,8 %) \(\lambda\) пенообразца изменяется в меньшей степени, чем у образцов с ППС (23,5 и 27,5 % соответственно). Это может быть связано с различием пористой микроструктуры по размеру пор. Гранулы ППС (1–1,5 мм) формируют при выгорании более крупные поры, чем пена.

На рис. 6 показана поверхность сколов спеченных легковесных образцов, полученных разными методами. В структуре образца (B = 57 %,  $\lambda = 0.496 \; \text{Вт/(м·K)}) \; \text{с выгорающей добавкой кок-}$ са большую часть объема занимают локальные зерна размерами 200-300 мкм, окруженные вытянутыми сообщающимися порами (см. рис. 6, а). В образце с пеноструктурой (B = 83 %,  $\lambda = 0.317$ Вт/(м·К)), наоборот, большую часть занимают отдельные поры правильной округлой формы размерами 100-300 мкм, окруженные мелкодисперсными агломератами твердой фазы шамота (см. рис. 6, б). Крупные поры распределены равномерно, и в их глубине видны более мелкие поры, образованные усадочными процессами глины при термическом воздействии.

Анализируя полученные данные, можно заключить, что в целом огнеупорные материалы характеризуются теплопроводностью, которая соответствует ГОСТ 5040-2015 «Изделия огнеупорные и высокоогнеупорные легковесные теплоизоляционные». Но не все изделия имеют достаточную прочность: образцы на основе шамота и вторичной глины при удовлетвори-





**Рис. 6.** Микроструктура спеченных пористых образцов, сформованных полусухим прессованием с выгорающей добавкой кокса (a) и пенометодом  $(\delta)$ 

тельной теплопроводности обладают низкой прочностью (см. табл. 2, серии 1 и 6). Введение в связующее 5–6 % бентонита компенсирует потерю прочности при выгорании кокса и позволяет получить изделия, обладающие  $\sigma_{\rm cx}$  3 МПа, с сохранением низкой плотности и, как следствие, необходимой теплопроводности (серия 3). Пористая структура образцов, полученных методом выгорающих добавок в виде опилок, несколько ухудшает их теплопроводность (серия 5), несмотря на снижение плотности до  $1000~{\rm kr/m^3}$ .

#### **ЗАКЛЮЧЕНИЕ**

Показано, что плотность огнеупоров теплотехнического назначения является главной и определяющей характеристикой. Установлено, что наряду с кажущейся плотностью и водопоглощением на их теплопроводность существенно

#### Библиографический список

- 1. *Горлов, Ю. П.* Технология теплоизоляционных и акустических материалов и изделий / *Ю. П. Горлов.* М.: Высшая школа, 1989. 384 с.
- 2. *Guzman, Y.* Certain principles of formation of porous ceramic structures. Properties and applications (review) / *Y. Guzman //* Glass Ceram. 2003. Vol. 60. P. 280–283.
- 3.  $\it Camcohoe$ ,  $\it \Gamma$ .  $\it B$ .  $\it Ф$ изико-химические свойства окислов: справочник /  $\it \Gamma$ .  $\it B$ .  $\it Camcohoe$ ,  $\it A$ .  $\it Л$ .  $\it Борисова$ ,  $\it T$ .  $\it Г$ .  $\it Жидкова$  [и др.]; под ред.  $\it \Gamma$ . В. Самсонова.  $\it M$ .: Металлургия, 1978. 472 с.
- 4. Строительные материалы : уч. для втузов ; под ред. В. Г. Микульского. М. : ACB, 2000. 536 с.
- 5. **Дятлова**, **Е. М.** Теплоизоляционные керамические материалы на основе огнеупорного и тугоплавкого глинистого сырья Республики Беларусь / E. M. Дятлова, P. Ю. Попов, E. O. Богдан // Огнеупоры и техническая керамика. 2018. № 6. C. 3-8.
- 6. **Meiting, Li.** Effect of blowing-agent addition on the structure and properties of magnesia porous material / Li Meiting, Luo Xudong, Zhang Guodomg [et al.] // Refract. Ind. Ceram. 2017. Vol. 58,  $\[mathbb{N}\]$  7. P. 60–64. https://doi.org/10.1007/s11148-017-0054-7.

**Мейтин,** Л. Влияние добавки вспенивающего вещества на структуру и свойства пористого магнезиального материала / Л. Мейтин, Л. Сюйдун, Ч. Гуа-

влияют метод получения и состав формовочных масс.

По результатам проведенных комплексных исследований пенометодом получены изделия кажущейся плотностью до 800-900 кг/м³ с теплопроводностью 0,37-0,48 Вт/(м·К) при 650 °С, что соответствует требованиям, предъявляемым к шамотным легковесным материалам такого класса. Наилучшими показателями теплофизических свойств обладают пеноматериалы на основе составов, включающих наполнитель и связующее в виде сухарной и углистой глин.

В результате проведенных исследований получен также массив данных по теплопроводности легковесных материалов на основе алюмосиликатного сырья при повышенных температурах. Диапазон теплопроводности исследуемых материалов, определенный стационарным методом при 350 и 650 °C, составляет 0,317–0,567 Вт/(м·К).

*дун* [и др.] // Новые огнеупоры. — 2017. — № 1. — С. 48-53. https://doi.org/10.17073/1683-4518-2017-1-48-53.

7. *Manylov, M. S.* Thermophysical properties of carbon-carbon materials based on graphite foam / *M. S. Manylov, S. V. Filimonov, O. N. Shornikova* [et al.] // Refract. Ind. Ceram. — 2017. — Vol. 58, № 1. — P. 113–116. https://doi.org/10.1007/s11148-017-0064-5.

**Манылов, М. С.** Теплофизические свойства углерод-углеродных материалов на основе пенографита / М. С. Манылов, С. В. Филимонов, О. Н. Шорникова [и др.] // Новые огнеупоры. — 2017. — № 2. — С. 50–53. https://doi.org/10.17073/1683-4518-2017-2-50-53.

- 8. *Соков, В. Н.* Теория и практика создания композиционной шамотной термостойкой теплоизоляции / В. Н. Соков, В. В. Соков, А. Э. Бегляров // Интернетвестник ВолгГАСУ. Сер. Политематическая. 2011. Вып. 1 (15). www.vestnik.vgasu.ru.
- 9. Огнеупоры для промышленных агрегатов и топок : справочник. В 2 кн. Кн. 1. Производство огнеупоров ; под ред. И. Д. Кащеева. М. : Интермет Инжиниринг, 2000. 663 с. ■

Получено 11.02.21 © Э. М. Уразаева, М. Х. Руми, Ш. Р. Нурматов, Ш. К. Ирматова, Ш. А. Файзиев, Э. П. Мансурова, М. А. Зуфаров, 2021 г.

НАУЧНО-ТЕХНИЧЕСКАЯ ИНФОРМАЦИЯ



№ 5 2021 **Hobbie Otheynopbi** ISSN 1683-4518 **131**